

ЭЛЕКТРОДИНАМИКА
И РАСПРОСТРАНЕНИЕ РАДИОВОЛН

УДК 537.874.2

РАССЕЯНИЕ ЭЛЕКТРОМАГНИТНЫХ ВОЛН
НА МЕТАЛЛИЧЕСКОЙ РЕШЕТКЕ, РАСПОЛОЖЕННОЙ
НА ГРАНИЦЕ РАЗДЕЛА ДВУХ СРЕД

© 2017 г. Б. А. Беляев^{1,2,*}, В. В. Тюрнев¹

¹Институт физики им. Л.В. Киренского,

Российская Федерация, 660036 Красноярск, Академгородок, 50/38

²Сибирский государственный аэрокосмический университет им. академика М.Ф. Решетнева,
Российская Федерация, 660014 Красноярск, просп. им. Газеты “Красноярский рабочий”, 31

*E-mail: belyaev@iph.krasn.ru

Поступила в редакцию 25.06.2016 г.

Впервые получены простые формулы для определения компонент матрицы рассеяния плоской электромагнитной волны при ее нормальном падении на тонкую безграничную металлическую 2D-решетку с квадратными окнами, расположенную на границе раздела двух сред. Рассчитанные по формулам амплитудно-частотные характеристики (АЧХ) такой структуры хорошо согласуются с характеристиками, полученными численным электродинамическим анализом 3D-модели, когда период решетки меньше половины длины волны. Показанная возможность эффективного управления АЧХ исследованной структуры изменением ширины проводников и периода решетки позволяет изготавливать на ее основе зеркала с заданной отражательной способностью. Такие зеркала на границах раздела диэлектрических слоев необходимы, например, при конструировании многослойных радиопрозрачных в заданном диапазоне частот поверхностей или оптических полосно-пропускающих фильтров.

DOI: 10.7868/S0033849417070026

ВВЕДЕНИЕ

В последние годы активно исследуются особенности распространения электромагнитных волн, падающих на слоистые конструкции из диэлектрических пластин, на границах раздела которых сформированы различные периодические структуры (2D-решетки или сетки) из полосковых проводников. Большой интерес к таким конструкциям обусловлен возможностью создания на их основе частотно-селективных поверхностей, служащих полосно-пропускающими и полосно-заграждающими фильтрами, в диапазонах от микронных [1–3] до дециметровых [4–6] длин волн. Полосковые элементарные ячейки, из которых составляется периодическая 2D-структура, например металлические квадраты или ячейки металлической сетки, как правило, являются резонаторами, которые проявляют свойства параллельных или последовательных колебательных контуров, включенных параллельно линии передачи [1]. А поэтому на “низких” частотах, когда длина волны больше периода решеток, они проявляют реактивные свойства индуктивности или емкости соответственно. При этом пара решеток индуктивного и емкостного типа, разделенных

тонким диэлектрическим слоем, в области “низких” частот могут совместно проявлять свойства параллельного колебательного контура. Поэтому на таких субволновых многорешеточных конструкциях можно создавать различные полосно-пропускающие фильтры [6–9]. Заметим, что длина волны на центральной частоте полосы пропускания в таком фильтре не только много больше периода решеток, но и много больше толщины диэлектрических слоев.

Известны также конструкции полосно-пропускающих фильтров на диэлектрических слоях полуволновой толщины, разделенных нерезонансными субволновыми 1D-решетками, например, из параллельных полосковых проводников [10]. В таких мультислойных структурах решетки служат зеркалами с заданными отражательными свойствами, обеспечивающими необходимую связь между резонаторами, а также связь крайних резонаторов с пространством. Изменяя отражательные свойства решетки, например варьированием ширины проводников при заданном периоде, несложно обеспечить требуемую ширину полосы пропускания фильтра и допустимую величину неравномерности амплитудно-частотной характе-

ристики (АЧХ) в ней [11]. При конструировании многослойных частотно-селективных поверхностей возможно и сочетание описанных выше способов. Например, в [12] исследована конструкция, в которой полоса пропускания формируется двумя парами субволновых 2D-решеток полосковых проводников, между которыми расположен полуволновый диэлектрический слой.

Важно отметить, что собственные добротности резонансных структур, которые построены на 2D-решетках полосковых проводников, разделенных диэлектрическими слоями с толщинами много меньше длины волны, существенно ниже добротности полуволновых диэлектрических слоев, разделенных субволновыми металлическими решетками-зеркалами. В результате частотно-селективные поверхности, построенные на резонансных диэлектрических слоях, окруженных зеркалами, обладают меньшими потерями в полосах прозрачности. Поэтому исследование свойств субволновых металлических 2D-решеток, на которых конструируются зеркала с заданными отражательными свойствами, весьма актуальная задача.

При расчете отражательных свойств металлических сеточных конструкций используют как численные, так и численно-аналитические методы. Численные методы наиболее популярны, так как они реализованы во многих коммерческих универсальных пакетах программ электродинамического моделирования 3D-структур. Из численно-аналитических методов наиболее известен метод моментов, использующий разложение компонент искомого поля по базисным функциям [13]. Также известен метод усредненных граничных условий, дающий рецепт нахождения эквивалентных граничных условий для различных сетчатых структур [14]. Эквивалентные граничные условия для металлической ленточной 1D-решетки на границе раздела двух сред получены в [15].

Численные и численно-аналитические методы расчета требуют достаточно высоких вычислительных ресурсов и значительного машинного времени. Поэтому исследователи часто прибегают к использованию простых приближенных формул [16, 17], полученных для некоторых типов конкретных решеток. При выводе таких формул металлические сетки обычно моделируют, используя эквивалентные схемы [18]. Электрические параметры эквивалентных схем рассчитывают, используя, как правило, приближенные формулы из справочника [19], полученные для 1D-решеток из полосковых проводников. При этом во многих работах, например, в [20, 21] используется недоказанное предположение о том, что нерезонансная металлическая 2D-сетка и 1D-решетка полосковых проводников с тем же периодом и той же шириной

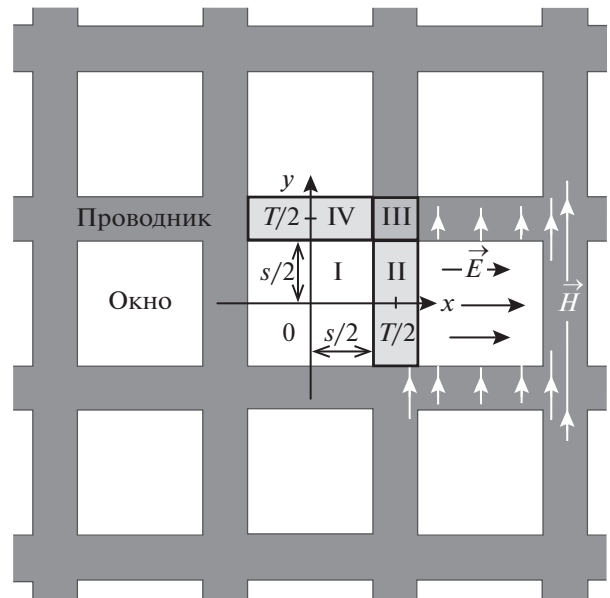


Рис. 1. Решетчатая 2D-структура из полосковых проводников; I, II, III и IV – выделенные участки ее элементарной ячейки.

проводников обладают одинаковыми отражательными свойствами, если их период много меньше длины падающей волны. В действительности, как будет показано ниже, некоторое различие в отражающих свойствах 2D-сетки и 1D-решетки все же существует.

Таким образом, до сих пор не были получены формулы, описывающие отражение и прохождение электромагнитной волны, падающей нормально на безграничную бесконечно тонкую идеально проводящую металлическую сетку с квадратными окнами (рис. 1), расположенную на границе раздела двух сред с диэлектрическими проницаемостями ϵ_1 и ϵ_2 . Решению этой задачи посвящена настоящая работа. В ней предполагается, что период сетки много меньше длины волны, поэтому расчет компонентов электромагнитного поля выполняется в квазистатическом приближении. Точность полученных формул оценивается сравнением рассчитанных по ним АЧХ с результатами численного электродинамического анализа 3D-модели рассматриваемой конструкции.

1. ЭЛЕКТРОМАГНИТНОЕ ПОЛЕ РЕШЕТКИ

Рассмотрим электромагнитные колебания вблизи металлической сетки (см. рис. 1), возбуждаемые нормально падающими на нее с обеих

сторон линейно поляризованными волнами с компонентами

$$E_x^{\text{пад}} = \begin{cases} E_1^{\text{пад}} \exp(ik_1z - i\omega t), & \text{если } z < 0, \\ E_2^{\text{пад}} \exp(-ik_2z - i\omega t), & \text{если } z > 0, \end{cases} \quad (1)$$

$$H_y^{\text{пад}} = \begin{cases} Z_1 E_1^{\text{пад}} \exp(ik_1z - i\omega t), & \text{если } z < 0, \\ -Z_2 E_2^{\text{пад}} \exp(-ik_2z - i\omega t), & \text{если } z > 0, \end{cases}$$

где

$$k_{1,2} = \omega \sqrt{\epsilon_0 \mu_0 \epsilon_{1,2}} \quad (2)$$

– волновые числа,

$$Z_{1,2} = Z_0 / \sqrt{\epsilon_{1,2}}, \quad Z_0 = \sqrt{\mu_0 / \epsilon_0} \quad (3)$$

– характеристические сопротивления. Здесь начало отсчета координаты z выбрано на поверхности решетки.

Так как компоненты поля падающих волн (1) однородны в плоскости решетки, то компоненты поля решетки ($\vec{E}^{\text{реш}}$, $\vec{H}^{\text{реш}}$) будут в общем случае периодическими функциями координат x и y с периодом, равным периоду решетки T . Это значит, что любая из компонент электромагнитного поля может быть разложена в двойной ряд Фурье по аргументам x и y . Учитывая симметрию компонент полей относительно плоскостей симметрии решетки, можно записать в системе координат, указанной на рис. 1, следующие разложения:

$$E_x^{\text{реш}}(x, y, z) = \sum_{n=0}^{\infty} \sum_{m=0}^{\infty} E_x^{nm}(z) \cos(k_n x) \cos(k_m y),$$

$$H_y^{\text{реш}}(x, y, z) = \sum_{n=0}^{\infty} \sum_{m=0}^{\infty} H_y^{nm}(z) \cos(k_n x) \cos(k_m y), \quad (4)$$

$$E_z^{\text{реш}}(x, y, z) = \sum_{n=0}^{\infty} \sum_{m=0}^{\infty} E_z^{nm}(z) \sin(k_n x) \cos(k_m y),$$

$$H_z^{\text{реш}}(x, y, z) = \sum_{n=0}^{\infty} \sum_{m=0}^{\infty} H_z^{nm}(z) \cos(k_n x) \sin(k_m y),$$

где

$$k_n = 2\pi n / T. \quad (5)$$

Потребуем, чтобы каждый член двойного ряда Фурье в выражениях (4) удовлетворял уравнению Гельмгольца

$$(\partial^2 / \partial x^2 + \partial^2 / \partial y^2 + \partial^2 / \partial z^2 + k_{1,2}^2) \vec{E}^{\text{реш}} = 0, \quad (6)$$

$$(\partial^2 / \partial x^2 + \partial^2 / \partial y^2 + \partial^2 / \partial z^2 + k_{1,2}^2) \vec{H}^{\text{реш}} = 0. \quad (7)$$

В этом случае формулы (4) принимают вид

$$E_x^{\text{реш}}(x, y, z) = E_{x,00}^{(1,2)} \exp(ik_{1,2}|z|) + \sum_{n=1}^{\infty} \sum_{m=1}^{\infty} E_{x,nm}^{(1,2)} \cos(k_n x) \cos(k_m y) \exp(-k_{nm}^{(1,2)}|z|),$$

$$H_y^{\text{реш}}(x, y, z) = H_{y,00}^{(1,2)} \exp(ik_{1,2}|z|) + \sum_{n=1}^{\infty} \sum_{m=1}^{\infty} H_{y,nm}^{(1,2)} \cos(k_n x) \cos(k_m y) \exp(-k_{nm}^{(1,2)}|z|), \quad (8)$$

$$E_z^{\text{реш}}(x, y, z) = \sum_{n=1}^{\infty} \sum_{m=1}^{\infty} E_{z,nm}^{(1,2)} \sin(k_n x) \cos(k_m y) \exp(-k_{nm}^{(1,2)}|z|),$$

$$H_z^{\text{реш}}(x, y, z) = \sum_{n=1}^{\infty} \sum_{m=1}^{\infty} H_{z,nm}^{(1,2)} \cos(k_n x) \sin(k_m y) \exp(-k_{nm}^{(1,2)}|z|),$$

где

$$k_{nm}^{(1,2)} = \sqrt{k_n^2 + k_m^2 - k_{1,2}^2}. \quad (9)$$

Формулы (8) можно рассматривать как разложение компонент поля решетки $\vec{E}^{\text{реш}}$, $\vec{H}^{\text{реш}}$ в ряд по всем модам, отвечающим симметрии решетки и поляризации падающей волны.

А. Первое частное решение

Будем предполагать, что период решетки T много меньше длины волны, т.е.

$$k_{1,2} T \ll 2\pi. \quad (10)$$

В этом случае уравнения Гельмгольца (6) и (7) упрощаются и превращаются в уравнения Лапласа

$$(\partial^2 / \partial x^2 + \partial^2 / \partial y^2 + \partial^2 / \partial z^2) \vec{E}^{\text{реш}} = 0, \quad (11)$$

$$(\partial^2 / \partial x^2 + \partial^2 / \partial y^2 + \partial^2 / \partial z^2) \vec{H}^{\text{реш}} = 0. \quad (12)$$

При этом в суммах (8) все члены в рядах Фурье, кроме основных членов с $n = m = 0$, быстро убывают с ростом $|z|$. Поэтому при $k_{1,2} T \ll k_{1,2} |z| \ll 2\pi$ формулы (8) упрощаются и с учетом симметрии по x и y принимают вид

$$E_x^{\text{реш}}(x, y, z) = \langle E_x^{(1,2)} \rangle,$$

$$H_y^{\text{реш}}(x, y, z) = \langle H_y^{(1,2)} \rangle, \quad (13)$$

$$E_z^{\text{реш}}(x, y, z) = 0,$$

$$H_z^{\text{реш}}(x, y, z) = 0,$$

где значения неопределенных констант $\langle E_x^{(1,2)} \rangle$, $\langle H_y^{(1,2)} \rangle$ выражаются интегралами

$$\langle E_x^{(1,2)} \rangle = \frac{1}{T^2} \int_{x=-s/2}^{T-s/2} \int_{y=-s/2}^{T-s/2} E_x^{\text{реш}}(x, y, z) \Big|_{z=0} dx dy, \quad (14)$$

$$\langle H_y^{(1,2)} \rangle = \frac{1}{T^2} \int_{x=-s/2}^{T-s/2} \int_{y=-s/2}^{T-s/2} H_y^{\text{реш}}(x, y, z) \Big|_{z=0} dx dy. \quad (15)$$

Здесь s – ширина окна решетки. Зная константы $\langle E_x^{(1,2)} \rangle$ и $\langle H_y^{(1,2)} \rangle$, мы сможем вычислить элементы матрицы рассеяния S .

Таким образом, компоненты $\vec{E}^{\text{реш}}$ и $\vec{H}^{\text{реш}}$ электромагнитного поля решетки должны удовлетворять соответствующим граничным условиям на поверхности решетки и при $k_{1,2}|z| \ll 2\pi$ быть решениями уравнений (11), (12). Эти уравнения являются дифференциальными уравнения второго порядка. Поэтому они должны иметь два линейно независимых решения. Для определенности потребуем, чтобы компонента $H_y^{\text{реш}}$ для одного из частных решений была четной функцией координаты z , а для другого – нечетной. Из уравнений Максвелла следует, что если компонента $H_y^{\text{реш}}$ является четной функцией, то отвечающая ей компонента $E_x^{\text{реш}}$ является нечетной функцией, и наоборот.

Одно из частных решений уравнений (11), (12), имеющее четную компоненту $H_y^{\text{реш}}$, очевидно. Оно имеет вид

$$\begin{aligned} \vec{E}^{\text{реш}}(x, y, z) &= 0, \\ H_x^{\text{реш}}(x, y, z) &= 0, \\ H_y^{\text{реш}}(x, y, z) &= H_0, \\ H_z^{\text{реш}}(x, y, z) &= 0. \end{aligned} \quad (16)$$

Это решение не содержит электрической компоненты электромагнитного поля, в том числе и на поверхности проводников, а поэтому оно будет удовлетворять граничному условию на поверхности решетки.

Б. Второе частное решение

Второе решение уравнений (11), (12) должно иметь электрическую компоненту $\vec{E}^{\text{реш}}$, а ее тангенциальная составляющая $E_x^{\text{реш}}$ должна быть четной функцией координаты z . При $z = 0$ она будет отлична от нуля только в области, где нет металлизации, т.е. внутри окна решетки. Эта область на рис. 1 отмечена цифрой I. Нормальная

же компонента $E_z^{\text{реш}}$ будет отличаться от нуля только вне окна, т.е. на поверхности проводников. Таких областей три – II, III и IV (см. рис. 1).

Магнитная компонента $H_y^{\text{реш}}$, будучи нечетной функцией z , должна обращаться в нуль в области I и отличаться от нуля только в областях II–IV.

Найдем взаимосвязь на поверхности решетки между электрической компонентой $E_x^{\text{реш}}$, отличающейся от нуля только в области I, и магнитной компонентой $H_y^{\text{реш}}$ в областях II и IV. В области IV компонента $H_y^{\text{реш}}$ связана с плотностью продольных поверхностных токов J_x уравнением

$$H_y^{\text{реш}} = J_x. \quad (17)$$

Она направлена ортогонально к краю металлизации. На краю компонента $H_y^{\text{реш}}$ поворотом ее вектора преобразуется в компоненту $H_z^{\text{реш}}$. При этом обе компоненты испытывают сингулярность, отвечающую условиям Мейкснера на ребре [22]

$$\begin{aligned} H_y^{\text{реш}} \Big|_{y=s/2+p} &\propto \rho^{-1/2}, \\ H_z^{\text{реш}} \Big|_{y=s/2-p} &\propto \rho^{-1/2} \quad (\rho \rightarrow 0), \end{aligned} \quad (18)$$

где ρ – расстояние от точки наблюдения до ребра окна. Таким образом, продольный поверхностный ток J_x на проводнике в области IV создает поток магнитной индукции, пронизывающий площадь окна.

Этот поток должен сопровождаться электродвижущей силой вдоль периметра окна. Поэтому компонента $H_y^{\text{реш}}$ на поверхности металлизации в области IV должна быть непосредственно связана с электрической компонентой $E_x^{\text{реш}}$ на поверхности решетки внутри окна. Установим такую взаимосвязь компоненты $E_x^{\text{реш}}$ в области I на поверхности решетки с компонентой $H_y^{\text{реш}}$ в области IV.

Заметим, что из закона сохранения заряда следует, что интегральный ток, текущий по любому поперечному сечению полоскового проводника в области IV, остается постоянным, т.е. не зависит от координаты x . Учитывая, что ширина полоскового проводника и ширина окна фиксированы, расчет взаимосвязи компонент $E_x^{\text{реш}}$ и $H_y^{\text{реш}}$ можно выполнить в приближении независимости от координаты x этих компонент. В этом случае строгое решение уравнения Лапласа (12) для компоненты $\vec{H}^{\text{реш}}(y, z)$, удовлетворяющее граничному условию

$$H_z^{\text{реш}}(y, z) \Big|_{y>s/2, z=0} = 0, \quad (19)$$

а потому и условиям на ребре (18), можно получить с помощью конформных отображений [23]. Это решение описывает электромагнитное поле волн магнитного типа. Оно имеет вид

$$H_y^{\text{реш}} = -\frac{\partial}{\partial y} \text{Im} \Psi(y + iz), \quad (20)$$

$$H_z^{\text{реш}} = -\frac{\partial}{\partial z} \text{Im} \Psi(y + iz), \quad (21)$$

где аналитическая функция $\Psi(\zeta)$ комплексного аргумента ζ определяется формулой

$$\Psi(\zeta) = \text{arch} \left(\cos \left(\frac{\pi \zeta}{T} \right) / \cos \left(\frac{\pi s}{2T} \right) \right). \quad (22)$$

Отсюда находим, что компонента $H_y^{\text{реш}}$ на поверхности решетки выражается формулой

$$H_y^{\text{реш}} = \pm \text{Im} \left[\frac{\partial}{\partial y} \text{arch} \left(\cos \left(\frac{\pi y}{T} \right) / \cos \left(\frac{\pi s}{2T} \right) \right) \right]. \quad (23)$$

Здесь знак плюс выбирается при $z < 0$, а знак минус при $z > 0$.

Вычислим вклад $\langle H_y^{(1,2),IV,III} \rangle$ в неопределенную константу $\langle H_y^{(1,2)} \rangle$ в формуле (15) от компоненты $H_y^{\text{реш}}$ в областях IV и III. Подставляя выражение (23) в (15), получаем

$$\langle H_y^{(1,2),IV,III} \rangle = \mp \frac{\pi}{T}, \quad (24)$$

где знак минут отвечает вкладу $\langle H_y^{(1),IV,III} \rangle$, а знак плюс – вкладу $\langle H_y^{(2),IV,III} \rangle$.

Установим взаимосвязь электрической компоненты $E_x^{\text{реш}}$ в области I с магнитным полем $\vec{H}^{\text{реш}}$, выражаемым формулами (20)–(22). Для этого обратимся к уравнению Максвелла

$$(\text{rot } \vec{E}^{\text{реш}})_z = i\omega\mu_0 H_z^{\text{реш}}. \quad (25)$$

Выполнив интегрирование по y , получаем

$$E_x^{\text{реш}} = E_0(z) + i\omega\mu_0 \text{Re} \Psi(y + iz), \quad (26)$$

где функция $E_0(z)$ – неопределенная “постоянная” интегрирования. Она должна равняться нулю при $z = 0$, чтобы компонента $E_x^{\text{реш}}$ обращалась в нуль на металлической поверхности при $y > s/2$. Замечаем, что с увеличением $|z|$ второй член в этом уравнении при $|z| > T$ линейно возрастает до бесконечности. Поэтому потребуем, чтобы функция $E_0(z)$ была пропорциональна $|z|$, чтобы компонента $E_x^{\text{реш}}$ плавно переставала зависеть от z при $|z| > T$

в соответствии с формулой (13). В результате формула (26) принимает вид

$$E_x^{\text{реш}} = i\omega\mu_0 [\text{Re} \Psi(y + iz) - \pi|z|/T]. \quad (27)$$

Теперь вычислим константу $\langle E_x^{(1,2)} \rangle$. Подставляя (27) и (22) в формулу (14), получаем

$$\langle E_x^{(1,2)} \rangle = -i\omega\mu_0 \frac{s}{T} \ln \left(\cos \left(\frac{\pi s}{2T} \right) \right). \quad (28)$$

Здесь было учтено, что

$$\int_{\zeta=-a}^a \text{arch}(\cos \zeta / \cos a) d\zeta = -\pi \ln(\cos a). \quad (29)$$

Таким образом, магнитное поле $H_y^{\text{реш}}$ на проводящей поверхности в области IV связано с электрическим полем $E_x^{\text{реш}}$, характеризуемым константой $\langle E_x^{(1,2)} \rangle$, которая выражается формулой (28). Само же поле $H_y^{\text{реш}}$ в областях IV и III характеризуется константой $\langle H_y^{(1,2),IV,III} \rangle$, выражаемой формулой (24).

Теперь установим связь электрической компоненты $E_x^{\text{реш}}$ в области I с магнитной компонентой $H_y^{\text{реш}}$ в области II. Заметим, что ширина окна s , которая соответствует длине области II обычно больше ширины проводника $T-s$. Важно также, что электрическая компонента $E_x^{\text{реш}}$ на границах области I должна удовлетворять условиям на ребре

$$\begin{aligned} E_x^{\text{реш}} \Big|_{x=s/2-\rho} &\propto \rho^{-1/2}, \\ E_x^{\text{реш}} \Big|_{y=s/2-\rho} &\propto \rho^{1/2} \quad (\rho \rightarrow 0). \end{aligned} \quad (30)$$

Поэтому в области II должно выполняться неравенство $|\partial^2 E_x^{\text{реш}} / \partial x^2| \gg |\partial^2 E_x^{\text{реш}} / \partial y^2|$, а значит, в уравнении Лапласа (11) можно пренебречь производной $\partial^2 E_x^{\text{реш}} / \partial y^2$. Таким образом, компоненту $E_x^{\text{реш}}$ в области II при любом значении z , а также в области I, но только на поверхности окна ($z = 0$) можно аппроксимировать формулой

$$E_x^{\text{реш}} = -A \text{Re} \Psi(y) \frac{\partial}{\partial x} \text{Re} \Phi(x + iz), \quad (31)$$

где A – подлежащий нахождению неопределенный коэффициент, а аналитическая функция $\Phi(\zeta)$ комплексного аргумента ζ определена формулой

$$\Phi(\zeta) = \arcsin \left(\sin \left(\frac{\pi \zeta}{T} \right) / \sin \left(\frac{\pi s}{2T} \right) \right). \quad (32)$$

Действительно, координатная зависимость компоненты $E_x^{\text{реш}}$, заданная формулой (31), является гармонической функцией. В области II она удовлетворяет уравнению Лапласа (11), так как ее зависимость от координат x и z описывается аналитической функцией $\Phi(x + iz)$, а зависимостью $\Psi(y)$ можно пренебречь.

В области I зависимость компоненты $E_x^{\text{реш}}$ от координат x и y на поверхности окна ($z = 0$) отвечает условиям на ребре (30), а ее зависимость от координаты z можно доопределить так, чтобы она удовлетворяла уравнению (11).

Для нахождения значения коэффициента A снова вычислим константу $\langle E_x^{(1,2)} \rangle$, но теперь будем исходить из формулы (31). После вычисления интеграла (14) получаем

$$\langle E_x^{(1,2)} \rangle = A \frac{\pi}{T} \ln \left(\cos \left(\frac{\pi s}{2T} \right) \right). \quad (33)$$

Сравнивая формулы (33) и (28), находим значение коэффициента

$$A = -i \omega \mu_0 s / \pi. \quad (34)$$

Для нахождения компоненты $H_y^{\text{реш}}$ на поверхности металлического слоя в области II обратимся к уравнению Максвелла

$$(\text{rot } \vec{H}^{\text{реш}})_x = -i \omega \epsilon_0 \epsilon_{1,2} E_x^{\text{реш}}. \quad (35)$$

Интегрируя это уравнение по z после подстановки в него формул (31) и (34), получаем

$$H_y^{\text{реш}} = H(x, y) - \frac{\omega^2 \epsilon_0 \epsilon_{1,2} \mu_0 s}{\pi} \text{Re } \Psi(y) \text{Im } \Phi(x + iz), \quad (36)$$

где функция $H(x, y)$ – неопределенная “константа” интегрирования. Ее следует выбрать такой, чтобы искомая компонента $H_y^{\text{реш}}$ была нечетной функцией относительно аргумента z . Таким образом, с учетом формул (22) и (32) получаем, что компонента $H_y^{\text{реш}}$ на проводящей поверхности в области II, т.е. при $s/2 < x < T - s/2$, $-s/2 < y < s/2$ и $z = 0$, описывается формулой

$$H_y^{\text{реш}} = - \frac{\omega^2 \epsilon_0 \mu_0 s \epsilon_1 + \epsilon_2}{\pi} \times \text{arch} \left(\frac{\cos \left(\frac{\pi y}{T} \right)}{\cos \left(\frac{\pi s}{2T} \right)} \right) \text{arch} \left(\frac{\sin \left(\frac{\pi x}{T} \right)}{\sin \left(\frac{\pi s}{2T} \right)} \right). \quad (37)$$

Вычислим вклад $\langle H_y^{(1,2),II} \rangle$ от компоненты $H_y^{\text{реш}}$ в области II в неопределенную константу $\langle H_y^{(1,2)} \rangle$. Подставляя выражение (37) в двойной интеграл (15), получаем

$$\langle H_y^{(1,2),II} \rangle = \pm \frac{\omega^2 \epsilon_0 \mu_0 s \epsilon_1 + \epsilon_2}{\pi} \times \ln \left(\sin \left(\frac{\pi s}{2T} \right) \right) \ln \left(\cos \left(\frac{\pi s}{2T} \right) \right), \quad (38)$$

где знак плюс отвечает вкладу $\langle H_y^{(1),II} \rangle$, а знак минус вкладу $\langle H_y^{(2),II} \rangle$.

Суммируя вклады $\langle H_y^{(1,2),IV,III} \rangle$ и $\langle H_y^{(1,2),II} \rangle$, выражаемые формулами (24) и (38), находим константу

$$\langle H_y^{(1,2)} \rangle = \mp \left[\frac{\pi}{T} - \frac{\omega^2 \epsilon_0 \mu_0 s \epsilon_1 + \epsilon_2}{\pi} \ln \left(\sin \left(\frac{\pi s}{2T} \right) \right) \ln \left(\cos \left(\frac{\pi s}{2T} \right) \right) \right], \quad (39)$$

где знак минус отвечает константе $\langle H_y^{(1)} \rangle$, а знак плюс константе $\langle H_y^{(2)} \rangle$.

2. ФОРМУЛЫ ДЛЯ МАТРИЦЫ РАССЕЯНИЯ

Рассчитаем матрицу рассеяния \mathbf{S} , рассматривая области по обе стороны решетки как два порта четырехполюсника. Эта матрица связывает нормированные амплитуды рассеянных волн b_1 и b_2 , исходящих из первого и второго порта, с нор-

мированными амплитудами падающих волн a_1 и a_2 уравнением [24]

$$\begin{pmatrix} b_1 \\ b_2 \end{pmatrix} = \mathbf{S} \begin{pmatrix} a_1 \\ a_2 \end{pmatrix}. \quad (40)$$

Сами нормированные амплитуды определяются формулами [24]

$$a_{1,2} = E_{1,2}^{\text{пад}} / \sqrt{Z_{1,2}}, \quad b_{1,2} = E_{1,2}^{\text{рас}} / \sqrt{Z_{1,2}}, \quad (41)$$

где $E_{1,2}^{\text{пад}}$ – амплитуды падающих волн в формуле (1), а $E_{1,2}^{\text{рас}}$ – амплитуды рассеянных волн.

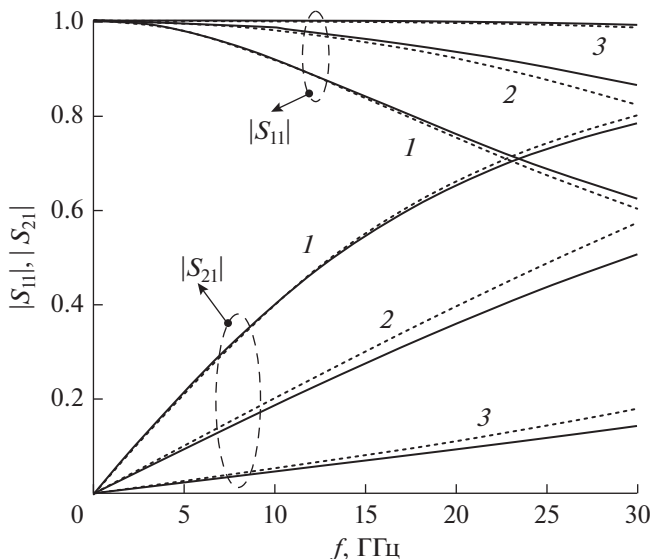


Рис. 2. Частотные зависимости коэффициентов прохождения $|S_{21}|$ и отражения $|S_{11}|$ электромагнитной волны от сетки с периодом $T = 3$ мм для трех значений s/T : 0.9 (1), 0.75 (2) и 0.5 (3). Сплошные линии – расчет по формулам, точки – численный электродинамический анализ 3D-модели сетки.

Запишем граничные условия для электрического поля E_x и магнитного поля H_y в первом порте

$$\begin{aligned} a_1\sqrt{Z_1} + b_1\sqrt{Z_1} &= \langle E_x^{(1)} \rangle E_0, \\ a_1/\sqrt{Z_1} - b_1/\sqrt{Z_1} &= \langle H_y^{(1)} \rangle E_0 + H_0, \end{aligned} \tag{42}$$

где E_0 – неопределенная константа, задающая амплитуду второго (нечетного) частного решения системы линейных уравнений (11) и (12). Напомним, что амплитуду первого (четного) решения задает неопределенная константа H_0 .

Здесь предполагается, что плоскость отсчета первого порта отстоит от плоскости решетки на расстоянии порядка ее периода T с тем, чтобы компоненты E_x и H_y считать константами $\langle E_x^{(1)} \rangle E_0$ и $\langle H_y^{(1)} \rangle E_0$ согласно формуле (13). В уравнении (42) учтено, что волна с амплитудой b_1 распространяется против направления оси z , и поэтому магнитное поле этой волны отличается знаком.

Аналогичные уравнения записываем для электрического и магнитного поля на втором порте

$$\begin{aligned} \langle E_x^{(2)} \rangle E_0 &= b_2\sqrt{Z_2} + a_2\sqrt{Z_2}, \\ \langle H_y^{(2)} \rangle E_0 + H_0 &= b_2/\sqrt{Z_2} - a_2/\sqrt{Z_2}. \end{aligned} \tag{43}$$

Заметим, что волна с амплитудой a_2 распространяется против направления оси z , поэтому напряженность ее магнитного поля отличается знаком, как и для волны с амплитудой b_1 в формуле (42).

Совместно решая уравнения (42), (43) и учитывая зависимости знаков коэффициентов $\langle H_y^{(1,2)} \rangle$, $\langle E_x^{(1,2)} \rangle$ от знака z , находим амплитуды рассеянных волн

$$\begin{aligned} b_1 &= \frac{\sqrt{\epsilon_1} - \sqrt{\epsilon_2} + 2Z_0 \langle H_y^{(2)} \rangle / \langle E_x^{(2)} \rangle}{\sqrt{\epsilon_2} + \sqrt{\epsilon_1} - 2Z_0 \langle H_y^{(2)} \rangle / \langle E_x^{(2)} \rangle} a_1 + \\ &+ \frac{2^4 \sqrt{\epsilon_1 \epsilon_2}}{\sqrt{\epsilon_2} + \sqrt{\epsilon_1} - 2Z_0 \langle H_y^{(2)} \rangle / \langle E_x^{(2)} \rangle} a_2, \end{aligned} \tag{44}$$

$$\begin{aligned} b_2 &= \frac{2^4 \sqrt{\epsilon_1 \epsilon_2}}{\sqrt{\epsilon_2} + \sqrt{\epsilon_1} - 2Z_0 \langle H_y^{(2)} \rangle / \langle E_x^{(2)} \rangle} a_1 + \\ &+ \frac{\sqrt{\epsilon_2} - \sqrt{\epsilon_1} + 2Z_0 \langle H_y^{(2)} \rangle / \langle E_x^{(2)} \rangle}{\sqrt{\epsilon_2} + \sqrt{\epsilon_1} - 2Z_0 \langle H_y^{(2)} \rangle / \langle E_x^{(2)} \rangle} a_2. \end{aligned}$$

После подстановки выражений (28) и (39) для коэффициентов $\langle E_x^{(2)} \rangle$ и $\langle H_y^{(2)} \rangle$ получаем искомые формулы

$$S = \begin{pmatrix} \frac{\sqrt{\epsilon_1} - \sqrt{\epsilon_2} - iZ_0 Y}{\sqrt{\epsilon_2} + \sqrt{\epsilon_1} + iZ_0 Y} \frac{2^4 \sqrt{\epsilon_1 \epsilon_2}}{\sqrt{\epsilon_2} + \sqrt{\epsilon_1} + iZ_0 Y} \\ \frac{2^4 \sqrt{\epsilon_1 \epsilon_2}}{\sqrt{\epsilon_2} + \sqrt{\epsilon_1} + iZ_0 Y} \frac{\sqrt{\epsilon_2} - \sqrt{\epsilon_1} - iZ_0 Y}{\sqrt{\epsilon_2} + \sqrt{\epsilon_1} + iZ_0 Y} \end{pmatrix}, \tag{45}$$

где

$$\begin{aligned} Y &= \frac{2\pi}{\omega \mu_0 s \ln \left(\sec \left(\frac{\pi s}{2T} \right) \right)} - \\ &- \omega \epsilon_0 T \frac{\epsilon_1 + \epsilon_2}{\pi} \ln \left(\operatorname{cosec} \left(\frac{\pi s}{2T} \right) \right). \end{aligned} \tag{46}$$

Заметим, что величина Y является реактивной проводимостью элементарной ячейки решетки. Первое слагаемое в выражении (46) описывает индуктивную часть проводимости, а второе слагаемое – емкостную часть. Элементы матрицы S , как и следовало ожидать, связаны равенствами $S_{12} = S_{21}$, $|S_{11}| = |S_{22}|$.

3. АНАЛИЗ ПОЛУЧЕННЫХ ФОРМУЛ

Для оценки погрешности полученных формул проведем сравнение рассчитанных по ним АЧХ с аналогичными характеристиками, рассчитанными с использованием численного электродинамического анализа 3D-модели металлической сетки. На рис. 2 для трех значений относительной ширины окна s/T представлены частотные зависимости коэффициента прохождения $|S_{21}|$ и коэффициента отражения $|S_{11}|$. Сплошные линии построены по формулам (45) и (46), а точками представлены зависимости, полученные с использованием численного электродинамического анализа 3D-модели. Расчет выполнен для случая, когда период

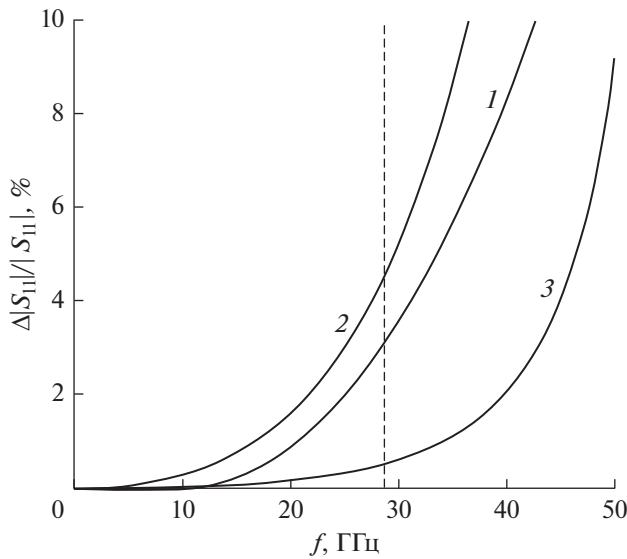


Рис. 3. Частотные зависимости относительного различия коэффициентов отражения электромагнитной волны от сетки с периодом $T = 3$ мм, вычисленных по формуле (45) и рассчитанных с использованием численного электродинамического анализа 3D-модели для трех значений s/T : 0.9 (1), 0.75 (2) и 0.5 (3). Штриховой линией отмечена частота f_0 , на которой $\lambda_2/2 = T$.

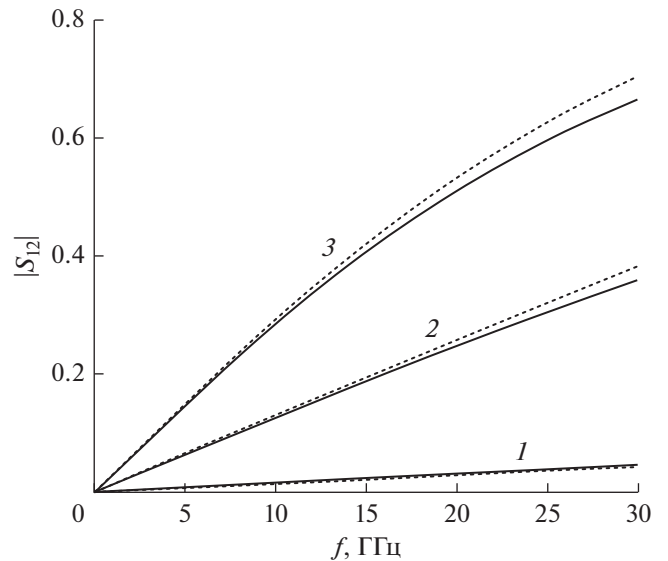


Рис. 4. Частотные зависимости коэффициента прохождения при $T - s = 0.5$ мм для трех значений периода $T = 1$ (1), 2 (2), 3 мм (3). Сплошные линии – расчет по формулам, точки – численный электродинамический анализ 3D-модели сетки.

структуры $T = 3$ мм, $\epsilon_1 = 1$, $\epsilon_2 = 3$. Видно, что с уменьшением относительного размера окна в решетке коэффициент отражения растет, а коэффициент прохождения электромагнитных волн через структуру соответственно падает. Заметим, что на частоте $f_0 = 28.8$ ГГц длина волны во второй среде $\lambda_2 = 2T$.

Погрешность полученных формул можно оценить по частотным зависимостям относительного различия коэффициентов отражения электромагнитной волны (рис. 3), вычисленных по формулам и рассчитанных с использованием численного электродинамического анализа 3D-модели, который, как известно, достаточно хорошо согласуется с экспериментом. На рис. 3 видно, что относительная погрешность формул в области ча-

стот ниже частоты f_0 , отмеченной на рисунке штриховой линией, не превышает 4%.

На рис. 4 представлены частотные зависимости коэффициента прохождения для трех значений периода решетки при фиксированной ширине полосковых проводников $T - s = 0.5$ мм. Расчет выполнен для случая, когда $\epsilon_1 = 1$, $\epsilon_2 = 3$. Как и следовало ожидать, при неизменной ширине полосковых проводников увеличение периода 2D-решетки приводит к соответственному увеличению прохождения электромагнитных волн через структуру.

Как уже отмечалось, во многих работах считается, что нерезонансная металлическая сеточная 2D-решетка и 1D-решетка полосковых проводников с тем же периодом и той же шириной про-

Погрешность расчета отражения от 2D-решетки по полученным формулам ($|\Delta S_{11}^{2D}/S_{11}|$) и по известным формулам для 1D-решетки ($|\Delta S_{11}^{1D}/S_{11}|$)

f/λ_2	$s/T = 0.5$		$s/T = 0.75$		$s/T = 0.9$	
	$ \Delta S_{11}^{2D}/S_{11} $	$ \Delta S_{11}^{1D}/S_{11} $	$ \Delta S_{11}^{2D}/S_{11} $	$ \Delta S_{11}^{1D}/S_{11} $	$ \Delta S_{11}^{2D}/S_{11} $	$ \Delta S_{11}^{1D}/S_{11} $
5 ГГц/35 мм	7.7×10^{-5}	7.0×10^{-4}	6.8×10^{-4}	2.7×10^{-3}	3.2×10^{-4}	5.6×10^{-3}
10 ГГц/17 мм	3.3×10^{-4}	2.8×10^{-3}	3.0×10^{-3}	1.0×10^{-2}	1.9×10^{-4}	1.8×10^{-2}
15 ГГц/12 мм	8.4×10^{-4}	6.0×10^{-3}	7.7×10^{-3}	1.9×10^{-2}	2.4×10^{-3}	2.8×10^{-2}
20 ГГц/10 мм	1.8×10^{-3}	1.0×10^{-2}	1.6×10^{-2}	2.7×10^{-2}	8.8×10^{-3}	3.2×10^{-2}
25 ГГц/7 мм	3.4×10^{-3}	1.5×10^{-2}	3.0×10^{-2}	2.9×10^{-2}	2.0×10^{-2}	2.7×10^{-2}

водников обладают одинаковыми отражательными свойствами, если период структур много меньше длины падающей волны. Поэтому интересно сравнить относительные погрешности расчета коэффициентов отражения от металлической 2D-решетки, получающиеся при использовании полученных формул (45), (46) и известной формулы (39) из работы [23] для 1D-решетки полосковых проводников. Такое сравнение на нескольких частотах для металлической сетки с периодом $T = 3$ мм, расположенной на границе сред с относительными диэлектрическими проницаемостями $\epsilon_1 = 1$ и $\epsilon_2 = 3$, приведено в таблице. Видно, что точность расчета по полученным формулам $(|\Delta S_{11}^{2D}/S_{11}|)$ значительно выше точности расчета по известной формуле для 1D решетки $(|\Delta S_{11}^{1D}/S_{11}|)$.

ЗАКЛЮЧЕНИЕ

Таким образом, с использованием квазистатического приближения впервые получены простые формулы для расчета элементов матрицы рассеяния плоской электромагнитной волны, падающей ортогонально на металлическую решетку с квадратными окнами, расположенную на границе раздела двух сред. Сравнение частотных зависимостей коэффициентов прохождения и коэффициентов отражения, рассчитанных по формулам, и аналогичных зависимостей, рассчитанных численным электродинамическим анализом 3D-модели исследованных структур, показало достаточно высокую точность полученных формул. Отметим, что сравнительно небольшая относительная погрешность (менее 4%) наблюдается в широкой области частот вплоть до частоты, на которой период решетки равен примерно половине длины волны в среде с большей диэлектрической проницаемостью.

Полученные формулы могут быть использованы при конструировании частотно-селективных поверхностей на слоистых диэлектрических структурах, разделенных решетками из полосковых проводников. При этом металлические решетки, служащие зеркалами, обеспечивают необходимую связь между резонансными диэлектрическими слоями, а также связь наружных слоев с пространством. Отражательной способностью металлической сетки можно управлять в широких пределах, варьируя как относительную ширину окна s/T , так и период сетки T .

СПИСОК ЛИТЕРАТУРЫ

1. *Ade P.A.R., Pisano G., Tucker C., Weaver S.* // Proc. SPIE. 2006. V. 6275. P. 62750U-1.
2. *Melo A.M., Kornberg M.A., Kaufmann P. et al.* // Appl. Opt. 2008. V. 47. № 32. P. 6064.
3. *Garcia-Vidal F.J., Martin-Moreno L., Ebbesen T.W., Kuipers L.* // Rev. Modern Phys. 2010. V. 82. P. 729.
4. *Munk B.* Frequency selective surfaces: theory and design. N.Y.: John Wiley & Sons, Inc., 2000.
5. *Tomasek P.* // Int. J. Circuits, Systems and Signal Processing. 2014. V. 8. P. 594.
6. *Oh S., Lee H., Jung J.-H., Lee G.-Y.* // Int. J. Microwave Science and Technology. 2014. V. 2014. P. 857582.
7. *Sarabandi K., Behdad N.* // IEEE Trans. 2007. V. AP-55. № 5. P. 1239.
8. *Zhou H., Qu S.-B., Wang J.-F. et al.* // Electron. Lett. 2012. V. 48. № 1. P. 11.
9. *Salehi M., Behdad N.* // IEEE Microwave and Wireless Components Lett. 2008. V. 18. № 12. P. 785.
10. *Belyaev B.A., Tyurnev V.V.* // Opt. Lett. 2015. V. 40. № 18. P. 4333.
11. *Belyaev B.A., Tyurnev V.V.* // Opt. Lett. 2016. V. 41. № 3. P. 536.
12. *Li Y., Pei Z., Qu S. et al.* // PIERS Proc. Suzhou. China. September 12–16. Cambridge: EMW Publishing, 2011. P. 476.
13. *Mitra R., Chan C.H., Cwik T.* // Proc. IEEE. 1988. V. 76. № 12. P. 1593.
14. *Конторович М.И., Астрахан М.И., Акимов В.П., Ферсман Г.А.* Электродинамика сетчатых структур. М.: Радио и связь, 1987.
15. *Банков С.Е., Левченко И.В.* // РЭ. 1988. Т. 33. № 10. С. 2045.
16. *Luukkonen O., Simovski C., Granet G. et al.* // IEEE Trans. 2008. V. AP-56. № 6. P. 1624.
17. *Мельчакова И.В., Симовский К.П.* // РЭ. 2008. Т. 53. № 8. С. 925.
18. *Lee C.K., Langley R.J.* // IEE Proc. 1985. V. 132. Pt. H. № 6. P. 395.
19. *Marcuvitz N.* Waveguide handbook. N.Y.: McGraw-Hill, 1951.
20. *Whitbourn L.B., Compton R.C.* // Appl. Opt. 1985. V. 24. № 2. P. 217.
21. *Ulrich R.* // Infrared Phys. 1967. V. 7. P. 37.
22. *Meixner J.* // IEEE Trans. 1972. V. AP-20. № 4. P. 442.
23. *Беляев Б.А., Тюрнев В.В.* // Изв. вузов. Физика. 2015. Т. 58. № 5. С. 57.
24. *Гунта К., Гардж П., Чадха Р.* Машинное проектирование СВЧ устройств. М.: Радио и связь, 1987.